

DOI: [http://dx.doi.org/10.28936/jmracpc12.2.2020.\(10\)](http://dx.doi.org/10.28936/jmracpc12.2.2020.(10))دراسة ثباتية معدل بقاء المعزز الحيوي *Lactobacillus casei* تجاه املاح الصفراء والمعاملات الحرارية باستعمال تقنية التغليف الدقيق بالطبقاترغد رحيم الحاتم<sup>1</sup>، علي خضير الركابي<sup>2</sup>، آمال كاظم الأسدي<sup>3</sup><sup>1</sup>قسم علوم الاغذية، كلية الزراعة، جامعة البصرة. العراق. [raqadraheem@yahoo.com](mailto:raqadraheem@yahoo.com)<sup>2</sup>قسم علوم الاغذية، كلية الزراعة، جامعة البصرة. العراق. [xxx@yahoo.com](mailto:xxx@yahoo.com)<sup>3</sup>قسم علوم الاغذية، كلية الزراعة، جامعة البصرة. العراق. [xxx@yahoo.com](mailto:xxx@yahoo.com)

الاستلام 27 / 11 / 2019، القبول 19 / 1 / 2020، النشر 31 / 12 / 2020

هذا العمل تحت سياسة ترخيص من نوع 4.0 CCBY <https://creativecommons.org/licenses/by/4.0>

## الخلاصة

هدفت هذه الدراسة الى تحسين تقنية التغليف باستعمال احد انواع الطلاء الذي تسمى التغليف بالطبقات الذي يوفر أفضل حماية للمعزز الحيوي *Lactobacillus casei* وبطريقة البثق واستعمل مواد التغليف منها بروتينات الشرش المركزه بنسبة بروتين 80% ومواد طلاء الالجنينات والكايتوسان وقد أظهرت النتائج تباين في اختلاف حاصل عملية الربط بين انواع الطلاء من خلال. دراسة تأثيرثباتية المعزز الحيوي الحر والمكبسلة والمغلقة بأنواعه الثلاثة تجاه أملاح الصفراء وبتراكيز مختلفة 0 و0.3 و0.5 و0.7% عند فترات زمنية مختلفة 0 و1 و2 و3 ساعة من الحضانة وسجلت أعلى ثباتية للمعزز المغلف بطبقتين عند 3 ساعات، إذ بلغ معدل بقاء البكتريا 100 و89.91 و85 و82%، بينما المعزز الحيوي الحر سجل 100 و61.61 و53 و45.8% على التوالي، في حين أختبرت ثباتية الخلايا لمعزز الحيوي تجاه المعاملات الحرارية عند ثلاث درجات حرارة 45 و55 و65م بفترات زمنية 0 و15 و30 دقيقة وأظهرت النتائج ثباتية لمعزز الحيوي، إذ سجلت الخلايا المغلفة بطبقتين أعلى معدل بقاء بلغت 95.74 و92.83 و86.87% على التوالي مقارنة مع المغلفة بطبقة واحدة ثم تلتها الغير مغلفه واقل ثباتية هي الخلايا الحرة.

الكلمات المفتاحية : بروتينات الشرش المركزه، والتغليف الدقيق، انواع الطلاء، املاح الصفراء، معاملات الحرارية.

DOI: [http://dx.doi.org/10.28936/jmracpc12.2.2020.\(10\)](http://dx.doi.org/10.28936/jmracpc12.2.2020.(10))

## THE USE OF MICROENCAPSULATION TECHNOLOGY WITH COATING LAYER BY LAYER TO IMPROVE THE STABILITY OF THE *Lactobacillus casei* TOWARDS THE BILE SALTS AND TREATMENT HEAT.

Raqqad R. Al-Hatim<sup>1</sup>, Ali K. Al-Rikabi<sup>2</sup>, Amal K. Ghadban<sup>3</sup><sup>1</sup>Department of Food science, College of Agriculture, University of Basrah. Iraq. [raqadraheem@yahoo.com](mailto:raqadraheem@yahoo.com)<sup>2</sup>Department of Food science, College of Agriculture, University of Basrah. Iraq. [xxx@yahoo.com](mailto:xxx@yahoo.com)<sup>3</sup>Department of Food science, College of Agriculture, University of Basrah. Iraq. [xxx@yahoo.com](mailto:xxx@yahoo.com)

Received 27/ 11/ 2019, Accepted 19/ 1/ 2020, Published 31/ 12/ 2020

This work is licensed under a CCBY 4.0 <https://creativecommons.org/licenses/by/4.0>

### ABSTRACT

This study aimed to improve the microencapsulation technique using a type coating the encapsulation Layer by Layer, which provide the best protection for life *Lactobacillus casei* in the extrusion method and use the microencapsulation of materials of the protein concentrated by protein 80% and the coating with alginate and chitosan have the results showed the variation in the difference of the binding process encapsulation yield among the types of coating through. by studying of these the effect o stability of the bio probiotic free cell and the three types coated towards three different concentrations from bile salts 0, 0.3, 0.5 and 0.7% when the periods of time different of



zero and two and three hours at incubation the recorded highest stability with coated layer of the double layer when three hours compared to the bio probiotic free, with the survival rate 89.91, 85 and 82%, while the bio probiotic free cell record 100, 61.61 and 45.8% respectively, while tested the stability of cells are towards treatment heat three temperatures of 45, 55 and 65°C the at 0, 15 and 30 minute, the results showed stability with as recorded cells coated double layer the highest survival rate amounted to 95.74, 92.83 and 86.87% in three degrees of heat at 30 minute compared to the coated with a single layer then it is followed by a encapsulated (Uncoating layer) and less stability are the free cells.

**Keywords:** Whey proteins concentrated, microencapsulation, coating type, bile salts, heat treatment.

## المقدمة INTRODUCTION

تعد بروتينات الحليب إحدى المكونات الأساسية التي تدخل ضمن الأغذية الوظيفية والتي هي مجموعة الأغذية التي تحتوي على بعض المكونات الغذائية ذات التأثير الصحي، وتمتاز بروتينات الحليب باستعمالها في التغليف الدقيق وبنجاح لما لامتلاكها صفات عدة مثل تكوين الهلام وملائمتها للتغليف وبالتالي تؤدي إلى حماية البكتيريا العلاجية وإطالة العمر التخزيني فضلاً عن كونها من المصادر الغنية بالبيبتيدات الفعالة حيويًا والتي لها تأثير تعاوني مع البكتيريا العلاجية (Lazidis *et al.*, 2013; Vivek 2013; Tripathi & Giri 2014; Siamand *et al.*, 2016)، ويعد تطوير تقنيات التغليف الدقيقة وتطبيقها بنجاح لحماية المركبات الفعالة أحد الأمور الأساسية التي يتم اللجوء إليها للحماية الكاملة لها عند تعرضها إلى الظروف التصنيعية والتخزين ما يؤدي إلى تدهورها بواسطة درجة الحرارة والرطوبة والأكسجين، وكذلك تحللها في الجهاز الهضمي، عند تعرضها إلى حموضة المعدة والأملاح الصفراء ووجود الأنزيمات المعوية (Kailasapathy 2006)، ويعتمد انتقال طريقة التغليف على الخواص الفيزيائية والآلية للبوليمر وشحنة البوليمر وتطبيقات المواد المغلفة وموقع التحرير أو انطلاق المركبات الفعالة وتكلفة المادة المراد التغليف بها (Burgain *et al.*, 2011; Parra-Huertas 2010)، وتعد تقنية التغليف الدقيق بطريقة البثق والتي يطلق عليها نظام القطرات هي الأكثر شيوعًا في الإنتاج للغرويات في التغليف كما تتميز به من خصائص إيجابية (Feucht & Kwak 2013)، ويتوقف حجم وشكل الكرات على حجم فوهة الأبرة والمسافة بينهما ومحلول التصلب وعلى تركيز البوليمر (Mortazovian *et al.*, 2007)، كما أن طريقة الاستحلاب تمثل أحد طرائق التغليف الدقيق واسعة الاستعمال من خلال نظام المرحلة الواحدة أو المرحلتين لحجز البكتيريا أو أي مركبات فعالة (Sung *et al.*, 2015)، في حين تعد طريقة التجفيف بالرذاذ الجديدة التي تم تطويرها في الوقت الحالي والتي من الممكن أن تكون بديل عن تقنية البثق والاستحلاب، وهذه الطريقة تكون مفضلة عند استعمال التغليف الدقيق للمركبات الفعالة مثل الأنزيمات والزيوت والمركبات الفينولية (Nazzar *et al.*, 2012)، وتتميز هذا الطريقة بأنها غير مكلفة فضلاً عن سهوله تشغيل الجهاز وإمكانية حفظ المنتج في درجة حرارة المختبر وتمتاز بانخفاض النشاط المائي مع مراعاة تحديد درجة الدخول والخروج إلى المادة المستعملة وملائمتها للتطبيقات الصناعية (Zuidam & Nedovic 2010)، ويمكن تصنيف أنواع الطلاء حسب الطريقة المتبعة والتي تتضمن الطلاء بطبقة مفردة والطلاء بطبقتين مزدوجتين فضلاً عن الطلاء المركب أو المعقد (Calinoiu *et al.*, 2019).

## المواد وطرائق والعمل MATERIAL AND METHODS

### تحضير اللقاح Inoculum Preparation

نشطت بكتيريا *Lactobacillus casei* في الوسط السائل الأنتقائي MRS-Broth بدرجة حرارة 37 م لمدة 18 ساعة بحاضنة مجهزه بغاز CO<sub>2</sub> بنسبة 5% ثم طوبقت مع انابيب ماكفرلاند القياسية المحضرة من قبل Zapata & Ramirez-Arcos (2015).

### التغليف الدقيق Microencapsulation

#### تحضير الكرات المكبسلة غير المظليه The preparation of uncoating beads

أُتبعت الطريقة التي أوصى بها Tang *et al.* (2013) في التغليف الدقيق مع إجراء بعض التحويرات، إذ خلط بروتينات شرش الجاموس المركزه بتركيز 15% مع ماء خالي من الأيونات باستخدام محرك المغناطيسي لمدة ساعتين، ثم حفظت بالثلاجة لمدة 16 ساعة، أجريت المعاملة الحرارية عند درجة حراره 85م لمدة 15 دقيقة في حمام مائي و عدل الاس الهيدروجيني إلى 6.8 ثم برد المحلول على درجة حرارة 22م و خلط مع البكتيريا بحجم 10مللتر واستعمل المازج لغرض



التجانس وبأعداد  $15 \times 10^8$  واستعملت طريقة البثق بواسطة سرنجة في طبق بتري يحتوي على محلول التصليب الحاوي على كلوريد الكالسيوم بتركيز 0.2 مولار المبرد ثم وضع على محرك مغناطيسي على سرعة 100 دورة/ دقيقة لحين اكتمال المحلول ولتشكيل الكرات تركت في محلول التصليب لمدة 30 دقيقة ثم غسلت مرتين بمحلول ماء معقم لغرض التخلص من محلول التصليب، وحفظت بماء مقطر معقم ثم رشحت وحفظت في أنابيب تحتوي على محلول البيتون وبتركيز 0.1% المعقم عند درجة حرارة 4م لحين الاستعمال.

#### تحضير الكرات المطلية بطبقة مفردة Prepeation of single coating beads

أتبعت الطريقة التي أشار إليها *Krasaekoopt et al. (2004)* مع إجراء تحويل طفيف، إذ خلط 15 غم من الكرات غير المغلفة في الفقره اعلاه مع 100 مللتر من محلول الالجيئات المعقمه وبتركيز 0.17% في ورق سعته 250 مللتر ثم غلف بغلاف محكم ونقل الى حاضنة هزازة 100 بسرعه دوره/دقيقة لمدة 20 دقيقة على درجة حرارة 37م ثم رفعت الكرات المطلية (المغلفة) من محلول الالجيئات وسكبت بدورق ذي قمع مزود بورق ترشيح Whatman No.1 لغرض التخلص من محلول الالجيئات ووضعت طبقة من الورق الحراري مثقب وأستغرقت هذه العملية 30 دقيقة.

#### تحضير الكرات المطلية بطبقتين مزدوجة Prepeation of double coating beads

أتبعت الطريقة التي أشار إليها *Krasaekoopt et al. (2004)* في التغليف، إذ أذيب 0.4غم من الكايتوسيان بتركيز 1% في 99 مللتر ماء مقطر وأضيف 0.4 مللتر حامض الخليك الثلجي وعدل الاس الهيدروجيني الى 6 ووضع على محرك مغناطيسي لمدة ساعتين ثم عقم المحلول على درجة حرارة 121م لمدة 15 دقيقة، وبعد التبريد غلف بالكايتوسان ونقل الى حاضنة هزازة 100 بسرعه دوره/ دقيقة لمدة 40 دقيقة بدرجة حرارة المختبر، ورفعت الكرات المطلية (المغلفة) من محلول الكايتوسان وسكبت بدورق ذي قمع مزود بورق ترشيح Whatman No.1 لغرض التخلص من محلول الكايتوسان ووضع طبقة من الورق الحراري ثم غمرت الكرات المغلفة بمحلول التصليب لمدة 10 دقائق وبعدها غسلت محلول البيتون واستعمالها أنيا دون حفظها.

#### تحضير الخلايا الحرة والمكبسلة والمغلفة Release cell of encapsulate bacteria

أتبعت الطريقة الواردة في *(Mathews 2007)* لغرض إطلاق الخلايا المكبسلة وحساب اعدادها.

#### حاصل عملية الربط Encapsulation yield (EY)

تقدير حاصل عملية حجز البكتريا داخل البوليمر واتبعت طريقة التي أوصى بها *Arslon-Tontul & Erbas (2017)* وبتطبيق المعادلة أدناه:

$$\text{حاصل عملية التغليف البكتريا} = \frac{N_1}{N_0} \times 100$$

$N_1$  = أعداد البكتريا /cuf غم المنطلقة من الكرات المكبسلة والمغلفة في زمن الصفر.  
 $N_0$  = أعداد البكتريا الحرة/cuf مل قبل الكبسلة (اي في محلول).

#### دراسة ثباتية المعزز الحيوي أتجاه أملاح الصفراء Stability bioprobiotic of the bile salt

أتبعت الطريقة الواردة في *(Li et al. 2011)* مع إجراء بعض التحويلات، إذ نقل 0.5 غم البكتريا المكبسلة بأنواعها الثلاث الى أنابيب اختبار تحتوي على 4.5 مل من محلول أملاح الصفراء المعقم وبالتركيبة 0.0 (control) و0.3 و0.5 و0.7% وبنفس الخطوات السابقة سحب 1 مل من الخلايا الحرة المنشطة وحضنت على درجة حرارة 37م لمدة 0 و1 و2 و3 ساعة و تم نقل 1 غم من الكرات المكبسلة في محلول إطلاق الخلايا عند الاس الهيدروجيني 6.8 في حاضنه هزازة وبسرعة 100 دوره/دقيقة على درجة حراره المختبر ولمدة 10-12دقيقة لحين أكتمال أنحلال الكرات، واتبعت طريقة *(Mathews 2017)* في اطلاق الخلايا ثم عد الخلايا الحرة والمكبسلة المغلفة وحسب معدل بقاء البكتريا المنشطة الحرة والمكبسلة في كل ساعة أستنادا الى المعادلة التي ذكرها *(Çabuk 2014)*.

#### دراسة تأثير تحمل المعاملات الحرارية لخلايا الحرة والمكبسلة والمغلفة

#### Effect of Treatments Heat tolerance of Cell Free and Microencapsulated

أتبعت الطريقة التي أوصى بها *(Mandal et al. 2006)* وحسب معدل بقاء للبكتريا المنشطة الحرة والمكبسلة في كل الوقات أعلاه أستنادا الى المعادلة التي ذكرها *(Çabuk 2014)*.

## التحليل الإحصائي Statistical analysis

صممت التجارب الإحصائية للبيانات أستنادا الى التصميم العشوائي الكامل Desingn randomized complete Special program for (DRC) وحللت النتائج ضمن البرنامج الإحصائي الجاهز 2018 بأستعمال البرنامج statistical system (SPSS) وأختيرت العوامل المدروسة بالإعتماد على أقل فرق معنوي بين المتوسطات (L.S.D) عند مستوى إحصائية (0.05).

## النتائج والمناقشة RESULTS AND DISCUSSION

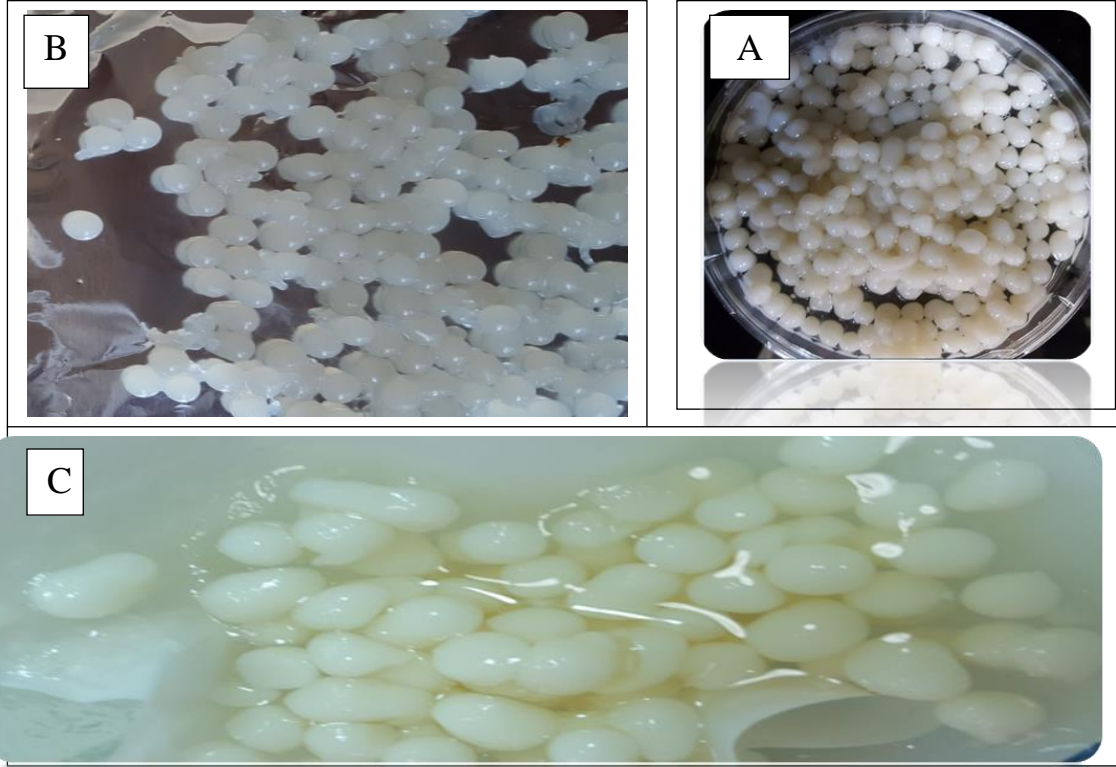
## حاصل عملية تغليف البكتريا Encapsulation Yield (EY)

يوضح (الجدول، 1) و(الشكل، 1) حاصل عملية التغليف لبكتريا *Lactobacillus casei* الكرات المكبسلة والمغلقة، إذ قدرت حاصل عملية التغليف بتطبيق المعادلة الرياضية الموصوفة في حاصل عملية التغليف الكرات بأنواعها ثلاث، إذ أظهرت نتائج التحليل الإحصائي وجود فروقات معنوية ( $P \leq 0.05$ ) في حاصل عملية الربط وتُسبب النتائج الى تباين حاصل عملية الربط بين الأنواع من خلال معاينة (الجدول، 1)، إذ يلاحظ أن حاصل عملية الربط للكرات المكبسلة غير المطلية سجلت أعلى نسبة مئوية بلغت 95.74%، بينما كانت الكرات المطلية بطبقة واحدة بلغ حاصل الربط 91.05%، ثم تلتها الكرات المكبسلة والمطلية بطبقتين، إذ سجلت أقل حاصل عملية الربط بلغت 89.74% ويمكن الاستنتاج أن انخفاض عملية الربط قد يعزى الى العمليات الميكانيكية أثناء التغليف والتفاعلات بين الطبقات التي تساهم في اختزال المعزز الحيوي في الكرات المكبسلة بطبقة واحدة مقارنة بطبقتين، بينما يعزى ارتفاع كفاءة حاصل ربط لكرات المكبسلة غير مطلية يعود الى التصاق المعزز الحيوي على سطح الكرات، لذا أتسمت عملية التغليف بالطبقات في تحسين معدل بقاء البكتريا وزيادة قطر الكرات وخفض المسامية للبوليمر وزيادة اللزوجة والتي تساهم في توفير أكثر حماية لحجز ورفع معدل بقاء المعزز الحيوي عند تعرض لظروف قاسية من الاس الهيدروجيني وانزيمات وأملاح الصفراء ومن هنا يستدل على رفع كفاءة عملية الربط، كما أثبتت الدراسات أن الكرات المكبسلة بالنشأ والمغلقة بالاجينات بطبقة واحدة لا تعطي حماية جيدة للبكتريا وذلك لسرعة تحللها خلال تعرضها الى الاس الهيدروجيني المنخفض وفي حالة الكرات المكبسلة والمغلقة بالاجينات، إذ يعمل التغليف بطبقتين على تحسين ثباتية الكرات المغلقة ويعزى السبب الى أن التغليف يوفر أفضل حماية للمعزز الحيوي وان طبقة الكايتوسان أتصفت بالأكثر سمكا والوزن جزئي عالي فضلا عن زيادة حجمها وقطرها وأخززال مساهمتها (Ivanovska et al., 2012)، وفسر (Chen et al. (2017) أن هناك عوامل تساهم في تحسين معدل بقاء البكتريا عند التغليف الدقيق والمتمثلة بالشكل كروي وقطر ونوع مواد تغليف، إذ أتسمت الكرات غير المغلقة (بروتينات الشرش المعزولة) بقطر  $81.8 \mu\text{m}$  وكفاءة ربط بلغت 96.35%، في حين كانت الكرات المغلقة بطبقة واحدة (الاجينات) تمتلك قطر  $118.1 \mu\text{m}$  وكفاءة عملية الربط 95.28% وعلى الرغم من انخفاض كفاءة الربط الكرات المغلقة بطبقة واحدة لكنها أتسمت بقوة الهلام الذي جعله غير قابل الذوبان مما ادئ الى أضعاف صفة المقاومة اتجاه التحلل الانزيمي ومقاومتها املاح الصفراء وبذلك أعطت أفضل حماية في الحجز مع زيادة معدل بقاء البكتريا عند تعرضها للظروف أعلاه، وكما جاءت النتائج أعلى مما توصل إليه (Ayama et al. (2014) عند دراستهم كفاءة عملية الربط في التقنية التغليف الدقيق وقد تراوحت حاصل كفاءة الربط بين 80-82% اعتمادا على تركيز المادة المستعملة، وجاءت هذه النتيجة مقارنة لما حصل عليه (Pitigraisorn et al. (2017) عند تقدير كفاءة عملية الربط لبكتريا *Bifidobacterium* BB-12 والتي بلغت 85.0-95.3%.

جدول (1): حاصل عملية التغليف للبكتريا الحرة والمغلقة بأنواعها الثلاث.

نوع التغليف Coating Type	الاعداد البكتريا قبل الاضافة /cuf/مللتر	الاعداد البكتريا بعد الاضافة /cuf/مللتر	حاصل عملية الربط (%)
البكتريا الحرة Free cell	9.17	9.17	100
المكبسلة غير مغلفه Uncoating	9.17	8.78	95.74
المغلقة بطبقة واحدة Single layer	9.17	8.35	91.05
المغلقة بطبقتين Double layer	9.17	8.23	89.74

RLSD:2.2354 و LSD:1.482 حاصل عملية الربط



شكل (1): التغليف الدقيق مع انواع الطلاء.

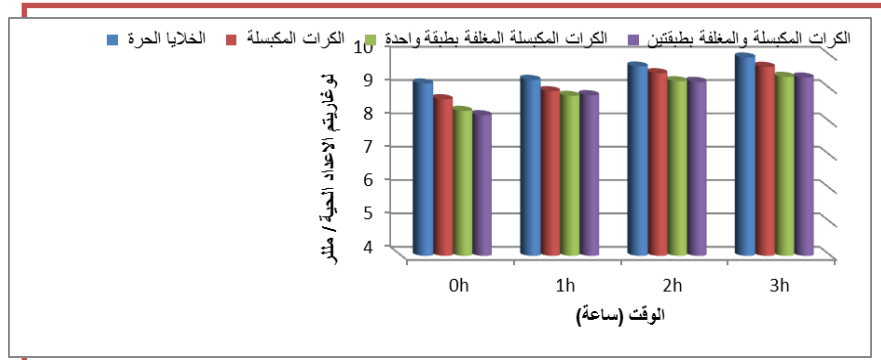
A- كرات المكبسلة غير مطلية Uncoating

B- كرات المطلية بالالجيئات بطبقة واحدة Single layer

C- كرات المطلية بالكايوسان بطبقتين Double layer

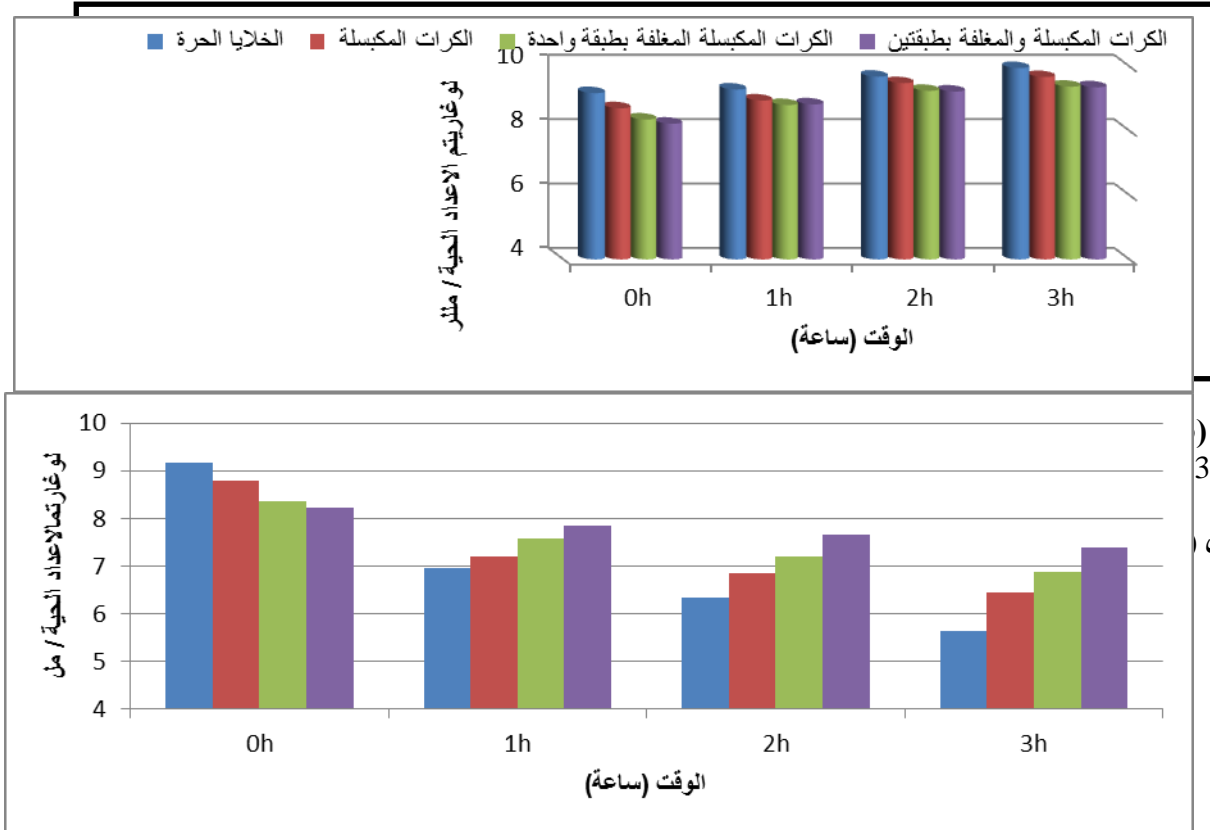
## دراسة ثباتية المعزز الحيوي تجاه أملاح الصفراء الحرة والمكبسلة والمغلطة Probiotic stability

أظهرت نتائج التحليل الإحصائي وجود فروقات معنوية ( $P \leq 0.05$ ) في معدل بقاء البكتريا ويوضح (الشكل، 2) و(الجدول، 1) التغير الحاصل في لوغار يتم الأعداد الحية/ مللتر ومعدل بقاء البكتريا من خلال دراسة ثباتية الخلايا *casei* *Lactobacillus* الحرة والمكبسلة بأنواعها عند تركيز 0% بدون املاح الصفراء بعد 1 و 2 و 3 ساعة من الحضان على درجة حرارة 37م، اذ اظهرت النتائج أن جميع المعاملات ابدت زيادة في اعداد البكتريا وهذا دليل قاطع على أن البكتريا تستطيع النمو في وسط MRS وهو أحد الاوساط الانتقائية للمعزز الحيوي *L. casei*

شكل (2): ثباتية الخلايا المعزز الحيوي *Lactobacillus casei* الحرة والمكبسلة بأنواعها بدون املاح الصفراء 0%.

يوضح (الشكل، 3) و(الجدول، 2) التغير الحاصل في لوغاريتم الأعداد الحية/ مللتر ومعدل بقاء البكتيريا من خلال دراسة ثباتية الخلايا *L. casei* الحرة والمكبسلة بأنواعها تجاه تركيز 0.3% من املاح الصفراء بعد 1 و2 و3 ساعة من الحضانة، إذ أظهرت نتائج التحليل الإحصائي وجود فروقات معنوية ( $P \leq 0.05$ ) وأن نسبة معدل بقاء البكتيريا أبدى انخفاضاً تدريجياً اعتماداً على طبيعة التغليف، إذ دلت النتائج أن بكتيريا *Lactobacillus casei* المكبسلة والمغلقة أنخفضت تدريجياً في النسب المئوية لمعدل بقاء البكتيريا أن الخلايا المغلقة بطبقتين والتي أبدت أعلى معدل بقاء وبلغ 88.33%، بينما سجلت الخلايا المغلقة بطبقة واحدة معدل بقاء 82.51%، ثم تلتها الخلايا المكبسلة غير مغلقة، إذ بلغ معدل البقاء 73.57% وأظهرت الخلايا الحرة انخفاض أكثر وضوحاً في معدل البقاء وبلغت 61.61% بعد فترة حضانة ثلاث ساعات عند تركيز 0.3 من املاح الصفراء، إذ يمكن الاستدلال من النتائج أن هناك تباين في ثباتية المعزز الحيوي تجاه أملاح الصفراء قد يكون ناتجاً عن أكثر من سبب يعود الى طبيعة ونوع وتركيب وتركيز المادة المستعملة التي يرافقها تغير في خواصها الوظيفية فضلاً عن نوع السلالة وأعدادها وفترة الحضانة التي تحددها بعض الاختبارات التي تجري عليها.

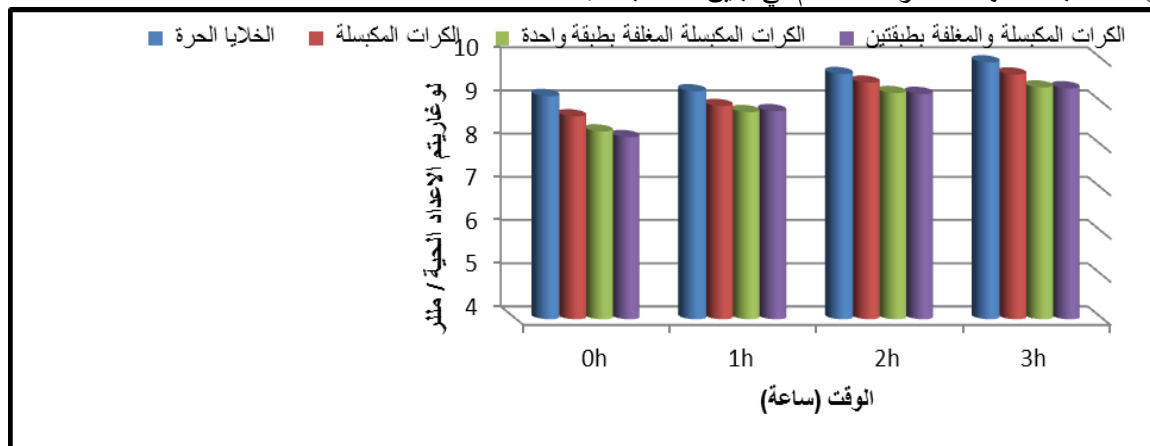
فسر (Sahadeva et al., 2011) أن ثباتية المعزز الحيوي على تحمل أملاح الصفراء يعزى الى فعالية Bile salt hydrolase (BSH) الذي يجعل المعزز الحيوي يتسم بصفة المقاومة تجاه الاملاح الصفراء، بينما أظهرت بعض السلالات غير قادرة على المقاومة ويرجع السبب عدم امتلاكها BSH مما يجعلها تتصف بالحساسية تجاه الاملاح الصفراء، كما أثبتت الدراسات السابقة أن تباين ثباتية سلالات البكتيريا *Lctobacillus* and *Bifidobacterium* تجاه تراكيز مختلفة من أملاح الذي يعود الى امتلاك بعض السلالات انزيم Bile salt hydrolase الذي يؤدي دوراً مهماً في إزالة الاقتران أو يساعد في تحلل أملاح الصفراء المقترن مما ينتج عنه أحماض الصفراء الحرة وأحماض أمينية وهذه الألية تعمل على خفض الكولسترول (Ayama et al., 2014).

شكل  
2 و3

جدول

يوضح (الشكل، 4) و(الجدول، 3) التغير الحاصل في لوغاريتم الأعداد الحية/ مل ومعدل بقاء البكتيريا من خلال دراسة ثباتية الخلايا *Lactobacillus casei* الحرة والمكبسلة بأنواعها تجاه تركيز 0.5% من املاح الصفراء بعد 1 و2 و3 ساعة من الحضانة، إذ أظهرت النتائج أن نسبة معدل بقاء البكتيريا أبدى انخفاضاً تدريجياً وأن الخلايا الحرة أبدت أقل معدل بقاء وبلغت 53% مقارنة بالمكبسلة غير مغلقة والمغلقة بطبقة واحدة والمغلقة بطبقتين وسجل معدل بقاها 60.48 و77.96 و85% على التوالي بعد 3 ساعات، وقد يرجع السبب الى قلة ثباتية الخلايا الحرة تجاه الاملاح، ومن خلال ذلك يمكن الاستنتاج أن الكريات المغلقة بالكابتوسان توفر أفضل حماية مقارنة بالمغلقة بالالجينات ويرجع لعدة اسباب منها طبيعة تكوين البوليمر فالتغليف بالكابتوسان يتسم بإنتاج بوليمر معقد غير قابل للتحلل من قبل أملاح الصفراء وكذلك يساهم

في تحديد أنتشار أملاح الصفراء من والى الخلايا المكبسلة والمغلقة، فضلا عن ذلك أنخفاض المسامية porosity وسمك الطبقة، لذا فكل هذه الاسباب توفر أفضل حماية وكذلك يعمل الكايتوسان على إعاقة التفاعل مع أملاح الصفراء (Shu et al., 2018)، وكما بين (Mortazavian et al. (2007 أن تباين في معدل أنطلاق البكتريا يرجع الى عوامل عدة منها تركيب البوليمر ودرجة مسامية فضلا عن العوامل المتعلقة بالبكتريا والتي تضم كثافة الخلايا وطبيعة الانتشار من والى الخلية ومنع التداخلات بين البكتريا والبوليمر لكي لا يؤثر على معدل إطلاق الخلايا وكذلك قرب الخلايا من سطح الكرات المكبسلة كلها هذه عوامل تساهم في تباين معدل بقائها.

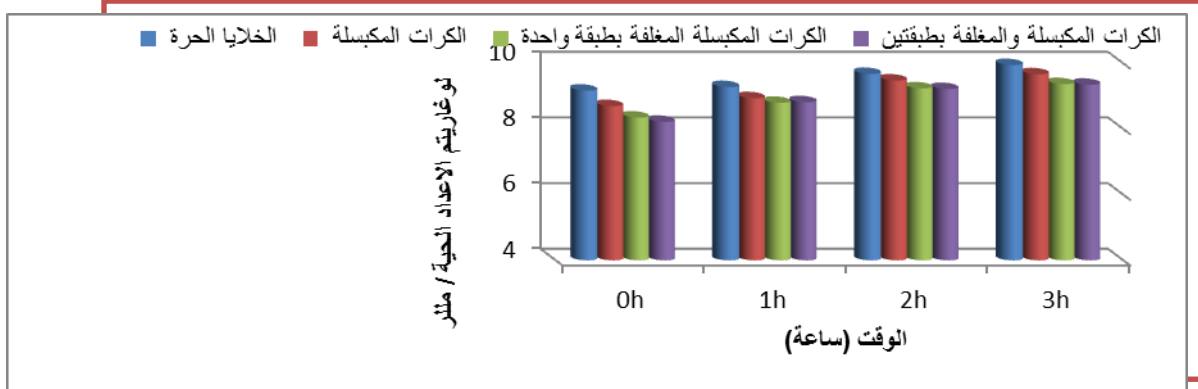


شكل (4): ثباتية الخلايا *Lactobacillus casei* الحرة والمكبسلة بأنواعها تجاه تراكيز 0.5% من املاح الصفراء بعد 1 و2 و3 ساعة من الحضانة.

جدول (3): معدل بقاء الخلايا الحرة والمكبسلة والمغلقة عند فترات مختلفة وبتراكيز 0.5% من املاح الصفراء.

نوع الخلايا	معدل بقاء البكتريا (%)		
	ساعة	ساعتين	3 ساعات
الخلايا الحرة	62	58.12	53
الكرات المكبسلة غير مغلقة	78.81	72.66	60.48
الكرات مغلقة بطبقة واحدة	89.23	82.51	77.96
الكرات مغلقة بطبقتين	92.34	88.69	85.0

يوضح (الشكل، 5) و(الجدول، 4) التغير الحاصل في لوغاريتم الأعداد الحية/ مللتر ومعدل البقاء للبكتريا من خلال دراسة ثباتية الخلايا *L. casei* الحرة والمكبسلة بأنواعه تجاه تركيز 0.7% من املاح الصفراء بعد الحضانة لمدة 1 و2 و3 ساعة من الحضانة وفيما ظهر الانخفاض أكثر وضوحا عند الخلايا الحرة فقد سجلت أعلى معدل اختزال 4.82 وأقل معدل بقاء 45.80% ثم تلتها الخلايا المكبسلة غير مغلقة بمعدل بقاء 58.65% وهذا يدل على عدم تحمل الخلايا الحرة مقارنة مع المكبسلة غير مغلقة والمكبسلة المغلقة بأنواعها، إذ أبدى معدل بقاء الخلايا بالزيادة تبعاً الى نوع ومصدر مواد التغليف، وسجلت الخلايا المغلقة بطبقة واحدة معدل بقاء 77.24%، بينما تفوقت الخلايا المغلقة بطبقتين وسجلت أعلى معدل بقاء 82.62% تجاه املاح الصفراء طيلة فترة تعرضها للاملاح، ويعزى السبب في انخفاض الخلايا المكبسلة غير المغلقة الى سرعة تحلل البروتين وعدم مقاومتها الظروف القاسية كل من الحموضة والانزيمات واملاح الصفراء، ويفسر (Xing et al. (2015 أن زيادة معدل بقاء البكتريا يعزى الى اختلاف في طبيعة مواد التغليف الذي يساهم في تكوين بوليمر يوفر أفضل حماية تجاه تراكيز املاح الصفراء.



شكل (5): ثباتية الخلايا *Lactobacillus casei* الحرة والمكبسلة بأنواعها تجاه تراكيز 0.7 من أملاح الصفراء بعد 1 و2 و3 ساعة من الحضانة.

جدول (4): معدل بقاء الخلايا الحرة والمكبسلة والمغلفة عند فترات مختلفة وبتراكيز 0.7 أملاح الصفراء.

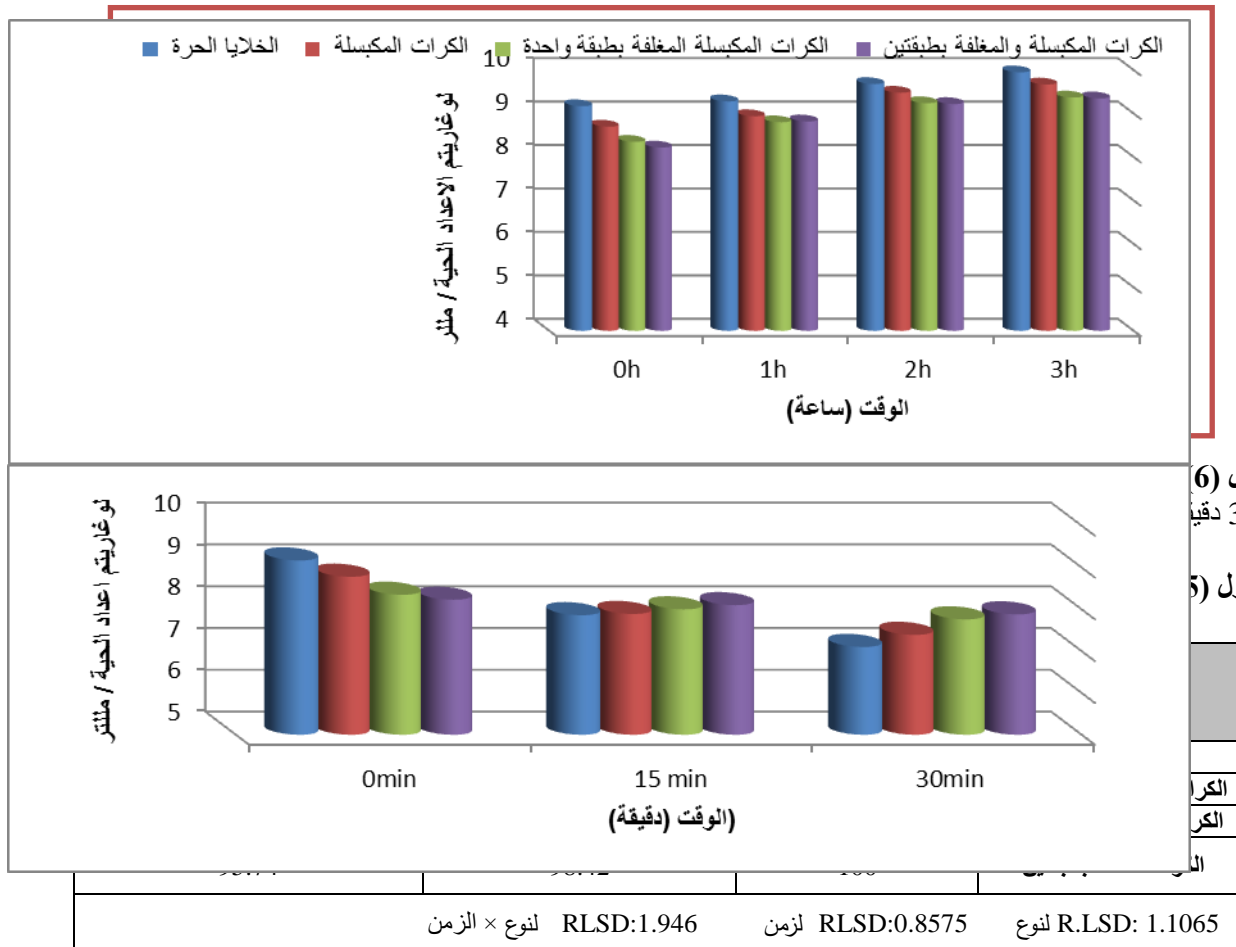
معدل بقاء البكتيريا %			نوع الخلايا
3 ساعات	ساعتين	ساعة	
45.8	48.96	54	الخلايا الحرة
58.65	67.42	73.46	الكرات المكبسلة غير مغلفة
77.24	81.43	86.29	الكرات مغلفة بطبقة واحدة
82.62	85	89.91	الكرات مغلفة بطبقتين

جاءت النتائج مقارنة لما توصل إليه *Li et al. (2011)* عن دراسة تأثير معدل بقاء البكتيريا *Lactobacillus casei* على التغليف بطبقات ومتكون من الالجنات والالجنات-الكابتوسان والالجنات-الكابتوسان-كاربوكسيل ميثيل سليولوز ومعاملة مع MRS-Bile salt عند تراكيز 0.5 و1% ومدة حضانة 0 و3 و6 ساعات، وأظهرت نتائج تغليف الكرات المغلفة بالطبقة الواحدة أن أعلى معدل لبكتيريا الخلايا والكرات المغلفة بطبقتين (الالجنات-الكابتوسان-كاربوكسيل ميثيل الكابتوسان) بلغ 92.8-95.2% على التوالي عند ثلاث ساعات وبتراكيز 0.5% أملاح الصفراء، وجاءت هذه النتائج مقارنة لما توصل إليه *Chen et al. (2017b)* عند دراستهم تأثير اختلاف مواد التغليف على المعزز الحيوي *Bifidobacterium bifidum* BB01 وثباتية الخلايا تجاه أملاح الصفراء خلال زمن الصفر وساعة وساعتين، إذ أظهرت النتائج أن بقاء معدل البكتيريا أبدى انخفاضاً تدريجياً مع وقت تعرضها ولم تسجل الخلايا الحرة والمكبسلة أي ثباتية بعد ساعتين، ويعود السبب في عدم ثباتية الخلايا الحرة والكرات المكبسلة والمغلفة بطبقة واحدة تجاه الأملاح الصفراء والظروف الحامضية، في حين أبدت كل من الخلايا المغلفة بطبقتين وثلاث طبقات ثباتية اتجاه الأملاح الصفراء عند تركيز 1% وقد بلغ لوغاريتم الأعداد الحية/ملتر 5.88 و8.77 ونسبة معدل بقاء البكتيريا 62 و94% على التوالي بعد ساعتين من الحضانة.

**ثباتية الخلايا البكتيرية تجاه المعاملة الحرارية** *Stability of towards treatment heat of baceteria cell*  
يوضح (الشكل، 6) و(الجدول، 5) تأثير المعاملة الحرارية على ثباتية خلايا المعزز الحيوي الحر وخلايا المكبسلة والمغلفة بأنواعها ومعدل بقاء البكتيريا وتشير نتائج التحليل الإحصائي وجود فروقات معنوية ( $P \leq 0.05$ ) في معدل بقاء البكتيريا وثباتية الخلايا الحرة والمكبسلة والمغلفة والمتمثلة بالمكبسلة غير المغلفة والمغلفة بطبقة واحدة والمغلفة بطبقتين، إذ يلاحظ أن أختزال أعداد الخلايا الحرة مقارنة مع المكبسلة والمغلفة عند درجة حرارة 45 م وفترات زمنية مختلفة أظهرت تغيرات واضحة في هذه الدرجة الحرارية وقد سجلت الخلايا الحرة معدل بقاء 77.42%، بينما سجلت الخلايا المكبسلة والمغلفة معدل بقاء تراوح بين 84.16-95.74% عند 30 دقيقة على درجة حرارة 45م، وقد يعزى انخفاض نشاط المعزز الحيوي في كلا الحالتين سواء بالمعاملة حرارية أو عند الخزن في التبريد، فإن تأثير المعاملة الحرارية من أهم العوامل المؤثرة على بكتيريا حامض اللاكتيك وخصوصاً الخلايا الحرة عند تعرضها إلى درجة حرارة والتي تكون أكثر حساسية تجاه



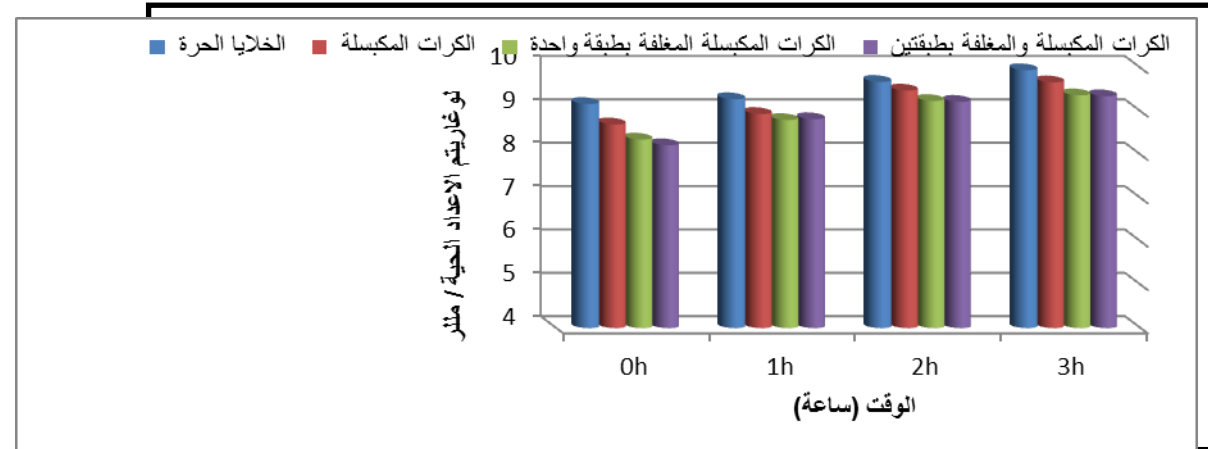
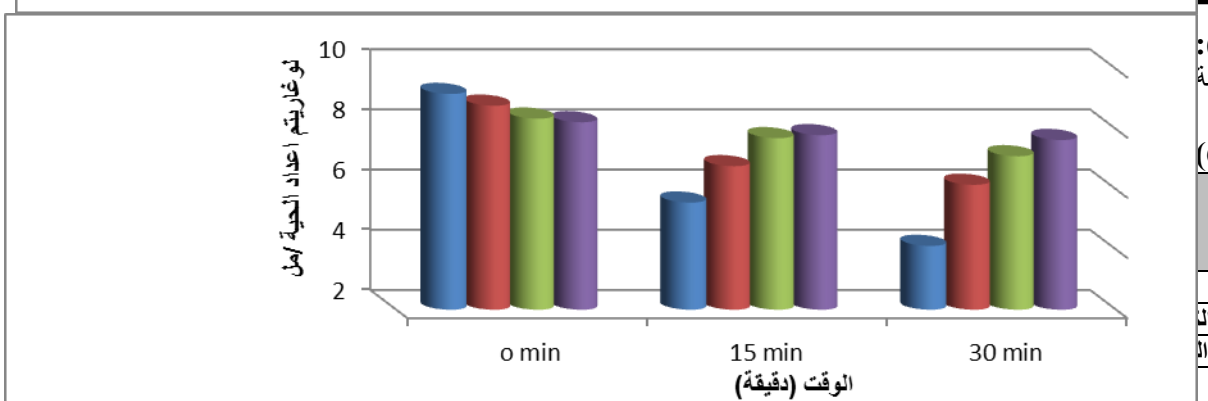
الصدمة الحرارية المباشرة وتفقد فعاليتها كلما زاد تعرضها الى الدرجات الحرارية العالية مقارنة بالمكبسلة (Ding & Shah,2008).



شكل (6)  
و30 دقيقة

جدول (5)

يشير (الشكل، 7) و(الجدول، 6) الى انخفاض أعداد الخلايا الحرة مقارنة مع المكبسلة والمغلفة عند درجة حرارة 55م ولفترات زمنية مختلفة، إذ أظهرت نتائج التحليل الإحصائي وجود فروقات معنوية ( $P \leq 0.05$ ) في معدل بقاء البكتريا وثباتية الخلايا الحرة والمكبسلة والمغلفة والمتمثلة بالمكبسلة غير المغلفة والمغلفة بطبقة واحدة والمغلفة بطبقتين، إذ أظهرت النتائج الى تباين في معدل بقاء وانخفاض أعداد الخلايا الحرة والمكبسلة والمغلفة عند 30 دقيقة، إذ يلاحظ أن الخلايا الحرة سجلت أعلى معدل أختزال 4.12 و أقل معدل بقاء 44%، بينما الكريات المكبسلة غير مغلفة سجلت أقل أختزال من الخلايا الحرة وبلغ 2.13 وبمعدل بقاء 75.74% ثم تلتها الكريات المكبسلة المغلفة بطبقة واحدة وسجلت أقل أختزال 0.96 وبمعدل بقاء 85.05%، في حين سجلت الكريات المكبسلة المغلفة بطبقتين معدل أختزال طفيف جدا 0.59 وأعلى معدل بقاء 92.83%، ويلاحظ من النتائج المستحصلة أن هنالك اختلافات واضحة في أختزال أعداد البكتريا ومعدل بقاءها في كل أنواع من الكريات قيد الدراسة وان سبب هذا الاختلافات يعود الى طبيعة تركيب البوليمر في كل انواعه.

شكل (7):  
30 دقيقة

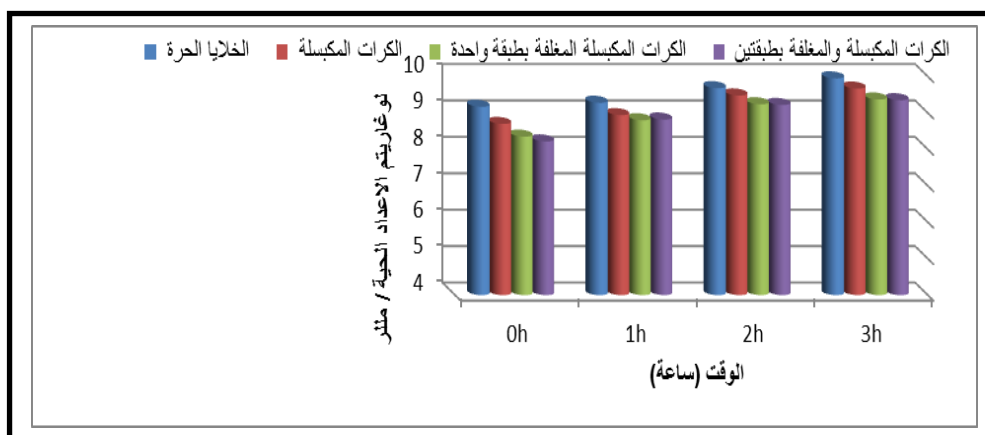
جدول (6)

RLSD:1.864 لنوع × الزمن

RLSD: 0.8215 لزمان

RLSD: 1.0595 لنوع

يشير (الشكل، 8) و(الجدول، 7) الى تأثير المعاملة الحرارية على الخلايا الحرة والمكبسلة والمغلفة ومعدل بقاء البكتيريا عند درجة حرارة 65م، إذ أظهرت النتائج أن الخلايا المكبسلة والمغلفة بطبقة واحدة والمغلفة بطبقتين أتسمت بثباتها تجاه الحرارة أفضل من الخلايا الحرة عند تعرضها لدرجة حرارة 65م لمدة 30 دقيقة، إذ أظهرت النتائج أن الكريات المكبسلة المغلفة بطبقتين سجلت أعلى نسبة بقاء البكتيريا بواقع 86.87% وبأقل معدل أختزال كان 1.08 ثم تلتها المغلفة بطبقة واحدة ونسبة بقاء البكتيريا بواقع 79.28% ومعدل أختزال 1.61، في حين سجلت الكريات المكبسلة غير المغلفة معدل أختزال 3.62 ومعدل بقاء 58.76% وسجلت الخلايا الحرة أقل معدل بقاء وبلغ 25.29% وأعلى أختزال 6.85.



شكل (8): تأثير المعاملة الحرارية على البكتيريا الحرة والمكبسلة والمغلفة عند تعرضها لدرجة حرارة 65م بفترات زمنية 0 و15 و30 دقيقة.



جدول (7): معدل بقاء خلايا البكتيريا عند درجة حرارة 65م.

معدل بقاء البكتيريا %			نوع الخلايا
30 دقيقة	15 دقيقة	0 دقيقة	
38.71	52.99	100	الخلايا الحرة
58.76	72.55	100	الكرات المكبسلة غير مغلقة
79.28	88	100	الكرات مغلقة بطبقة واحدة
86.87	90.76	100	الكرات مغلقة بطبقتين
النوع × الزمن	RLSD:1.946	لنوع	RLSD:0.8575
			RLSD:1.107 في النوع

جاءت هذه النتائج مقارنة الى ماتوصل اليه (Mandal et al. (2006) عند دراسة تأثير المعاملة الحرارية على اعداد خلايا بكتيريا *Lactobacillus casei* NCDC-298 مع اختبار أفضل تركيز من الالجينات من خلال حساب اعداد البكتيريا وقد سجل العدد اللوغاريتمي للخلايا المكبسلة 5.55 لوغارتم/ مللتر عند درجة حرارة 55م، بينما كان العدد اللوغاريتمي للخلايا المكبسلة 3.98 لوغارتم/ مللتر عند درجة حرارة 60م على التوالي خلال 20 دقيقة، إذ فسر ثباتية مقاومة الخلايا المكبسلة تجاه الحرارة مع زيادة تركيز الجينات الصوديوم الذي يعود الى قلة أنتشار الماء في تركيز 4% الجينات الصوديوم وزياده قطر المسامات، كما كانت النتائج مع مقارنة ما توصل اليه (Uoed-Haddar et al. (2016) الذي درس تأثير المعاملة الحرارية على تغليف المعزز الحيوي *Lactobacillus plantarm* عند درجة حرارة 25 و 40 و 50 و 60م، وسجلت الخلايا المكبسلة أعلى معدل بقاء 90 و 87 و 67.94% على التوالي، في حين سجلت الخلايا الحرة معدل بقاء بواقع 40.5% عند درجة حرارة 60م، وأتفقت النتائج مع ما توصل اليه (Chen et al. (2017b) عند دراستهم مقاومة الحرارة وتقدير معدل بقاء أنواع مختلفة من البادئات مع تباين طرق التغليف الدقيق ونوعين من الاغلفة ذات طبقة واحدة وطبقتين، إذ أظهرت النتائج أن حاصل عملية الربط بلغت 95% للكرات المكبسلة بطبقة واحدة وبمعدل بقاء 66.77%، بينما بلغت 91% للكرات المكبسلة بطبقتين وبمعدل 72.65% في 30 دقيقة عند درجة حرارة 50م وقد يعزى هذا تباين الى نوع البادئ ونوع مواد التغليف ونوع الربط ونوع الطلاء الذي يؤدي دورا مهما في حجز الخلايا مما يساعد في تقليل معدل الاختزالها ورفع معدل بقاءها وبهذا تفوقت الكرات المغلفة بطبقتين على رغم من انخفاض حاصل ربطها.

### الاستنتاجات CONCLUSIONS

ان عملية التغليف الدقيق مع الطلاء تعمل على تحسين معدل بقاء المعزز وتوفر افضل حماية له وهذا يتاثر بعدة عوامل منها طبيعة المواد ونوع الغلاف التي تؤدي دورا مهما في المحافظة على اعداد المعزز الحيوي عند عرضه الى ظروف قاسية لتراكيز مختلفة من املاح الصفراء و المعاملات الحرارية خلال فترات زمنية مختلفة وتميزت الكرات المكبسلة غير المغلفة بأقل ثباتية تجاه املاح الصفراء، بينما سجلت الكرات المغلفة بطبقتين أفضل حماية للمعزز الحيوي بتراكيز مختلفة من أملاح الصفراء والمعاملات الحرارية المختلفة.

### References

- Amine, C., Dreher, J., Helgason, T. & Tadros, T. (2014). Investigation of emulsifying properties and emulsion stability of plant and milk proteins using interfacial tension and interfacial elasticity. *Food Hydrocolloids*, 39, 180-186.
- Argin-Soysal, S., Kofinas, P. & Lo, Y. M. (2009). Effect of complexation conditions on xanthan-chitosan polyelectrolyte complex gels. *Food hydrocolloids*, 23(1), 202-209.
- Arslan-Tontul, S. & Erbas, M. (2017). Single and double layered microencapsulation of probiotics by spray drying and spray chilling. *LWT-Food Science and Technology*, 81, 160-169.
- Ayama, H., Sumpavapol, P. & Chanthachum, S. (2014). Effect of encapsulation of selected probiotic cell on survival in simulated gastrointestinal tract condition. *Songklanakar Journal Science Technology*, 36(3), 291-299.



- v. Burgain, J., Gaiani, C., Linder, M. & Scher, J. (2011). Encapsulation of probiotic living cells: from laboratory scale to industrial applications. *Journal of Food Engineering*, 104(4), 467-483.
- vi. Çabuk, B. (2014). *Development of Whey Protein Pullulan Microcapsules for The Encapsulation of Lactobacillus acidophilus NRRL-B 4495 as a Functional Food Ingredient*. Ph.D.Dissertation, The Graduate School of Engineering and Sciences of İzmir Institute of Technology, Turkey.145.
- vii. Chen, H. Y., Li, X. Y., Liu, B. J. & Meng, X. H. (2017a). Microencapsulation of *Lactobacillus bulgaricus* and survival assays under simulated gastrointestinal conditions. *Journal of Functional Foods*, 29, 248-255.
- viii. Chen, L., Yang, T., Song, Y., Shu, G. & Chen, H. (2017b). Effect of xanthan chitosan xanthan double layer encapsulation on survival of *Bifidobacterium* BB01 in simulated gastrointestinal conditions, bile salt solution and yogurt. *LWT-Food Science and Technology*, 81, 274-280.
- ix. Ding, W. K. & Shah, N. P. (2008). Survival of free and microencapsulated probiotic bacteria in orange and apple juices. *International Food Research Journal*, 15(2), 219-32.
- x. Feucht, A & Kwak, H. (2013). Microencapsulation of lactic acid bacteria (LAB). *Korean Journal Food Science Animal*, 33(2), 229-238.
- xi. Ivanovska, T. P., Mladenovska, K., Kavrakovski, Z., Bogdanovska, L., Grozdanov, A., Popovski, E. & Petrushevska-Tozi, L. (2012). Effect of prebiotic content on functional and physicochemical properties of *Lactobacillus casei* loaded chitosan Ca alginate microparticles. *Macedonian Pharmaceutical Bulletin*, 58(1,2), 45-52.
- xii. Krasaekoopt, W., Bhandari, B. & Deeth, H. (2004). The influence coating material on some properties of alginate beads and survivability of microencapsulated probiotic bacteria. *International Dairy Journal*, 14, 737-743.
- xiii. Lazidis, A., Hancock, R. D., Spyropoulos, F. M., Kru, B. R. & Norton, B. T. (2016). Whey protein fluid gels for the stabilisation of foams. *Food Hydrocolloids*, 53, 209-217.
- xiv. Li, X. Y., Chen, X. G., Sun, Z. W., Park, H. J. & Cha, D. S. (2011). Preparation of alginate chitosan carboxymethyl chitosan complex microcapsules and application in *Lactobacillus casei* ATCC 393. *Carbohydrate Polymers*, 83(4), 1479-1485.
- xv. Mandal, S., Puniya, A. K. & Singh, K. (2006). Effect of alginate concentrations on survival of microencapsulated *Lactobacillus casei* NCDC-298. *International Dairy Journal*, 16(10), 1190-1195.
- xvi. Mathews, S. (2017). Microencapsulation of probiotics by calcium alginate and gelatin and evaluation of its survival in simulated human gastro intestinal condition. *International Journal of Current Microbiology and Applied Sciences*. 6(4), 2080-2087.
- xvii. Mortazavian, A., Rzaevi, S. H., Ehsani, M. R. & Sohrabvandi, S. (2007). Principle and method of microencapsulation of probiotic. *Iranian Journal of Biotechnology*, 5(1), 1-18.
- xviii. Nazzaro, F., Orlando, P., Fratianni, F. & Coppola, R. (2012). Microencapsulation in food science and biotechnology. *Current Opinion in Biotechnology*, 23(2), 182-186.
- xix. Ouled-haddar, H., Sifour, M., Idoui, T., Bouridane, H. & Arid, S. (2016). *Lactobacillus plantarum* G1 microencapsulation enhanced its viability during storage and gastrointestinal transit. *Sains Malaysiana*, 45(7), 1049-1055.
- xx. Parra-Huertas, R. A. (2010). Food microencapsulation: A review. *Revista Facultad Nacional de Agronomía Medellín*, 63(2), 5669-5684.



- xxi. Pitigraisorn, P., Srichaisupakit, K., Wongpadungkiat, N. & Wongsasulak, S. (2017). Encapsulation of *Lactobacillus acidophilus* in moist heatresistant multilayered microcapsules. *Journal of Food Engineering*, 192(1), 11-18.
- xxii. Sahadeva, R. P. K., Leong, S. F., Chua, K. H., Tan, C. H., Chan, H. Y., Tong, E. V. & Chan, H. K. (2011). Survival of commercial probiotic strains to pH and bile. *International Food Research Journal*, 18(4), 1515-1522.
- xxiii. Shu, G., He, Y., Chen, L., Song, Y., Cao, J. & Chen, H. (2018). Effect of xanthan chitosan microencapsulation on the survival of *Lactobacillus acidophilus* in simulated gastrointestinal fluid and dairy beverage. *Polymers*, 10(6), 1-11.
- xxiv. Siamand, R., Deeth, H. C. & Al-Saadi, J. M. (2014). Textural and sensory properties of a calcium induced milk gel. *Journal of Food Engineering*, 139, 10-12 .
- xxv. Sung, M. R., Xiao, H., Decker, E. A. & McClements, D. J. (2015). Fabrication, characterization and properties of filled hydrogel particles formed by the emulsion template method. *Journal Food Engineering*, 155, 16-21.
- xxvi. Tang, Z., Huang, X., Baxi, S., Chambers, J. R., Sabour, P. M. & Wang, Q. (2013). Whey protein improves survival and release characteristics of bacteriophage felix O1 encapsulated in alginate microspheres. *Food Research International*, 52, 460-466.
- xxvii. Tripathi, M. K. & Giri, S. K. (2014). Probiotic functional foods: Survival of probiotics during processing and storage. *Journal of Functional Foods*, 9, 225-241.
- xxviii. Vivek, K. B. (2013). Use of encapsulated probiotics in dairy based foods. *International Journal of Food, Agriculture and Veterinary Sciences*, 3(1), 188-199.
- xxix. Xing, Y., Xu, Q., Lu, J., Cao, D., Li, H., Che, Z., Ma, Y., Li. X. & Cai, Y. (2014). Effect of different coating materials on the biological characteristics and stability of microencapsulated *Lactobcillus acidophilus*. *Journal RSC Advance*, 5(29), 22825-22837.
- xxx. Zapata, A. & Ramirez-Arcos, S. (2015). A comparative study of McFarland turbidity standards and the Densimat photometer to determine bacterial cell density. *Current Microbiology*, 70(6), 907-909.
- xxxi. Zuidam, N. J. & Nedovic, V. A. (2010). *Encapsulation Technologies For Active Food Ingredients and Food Processing*. Springer. New Yerk USA. p391.